

40. Оболенский А.Ю. *Об устойчивости решений автономных систем Важевского с запаздыванием* // Укр. матем. журн. 1983. Т.35. № 5. С.574-579.
41. Хейл Дж. *Теория функционально-дифференциальных уравнений*. – М.: Мир, 1984.
42. Севастьянов Б.А. *Ветвящиеся процессы*. – М.: Наука, 1971.
43. Чертков И.Л. *Родоначальная клетка кроветворной системы* // Нормальное кроветворение и его регуляция / Под ред. Н.А. Федорова. – М.: Медицина, 1976. С.40-97.
44. Козлов В.А. *Скорость клеточного цикла и проблема дифференцировки стволовой кроветворной клетки (ПСКК)* // Научный отчет. – Новосибирск: Институт клинической иммунологии СО РАМН, 1996. С.29-30.
45. Гаврилов О.К. *История развития теории кроветворения и современная схема гемопоэза* // Нормальное кроветворение и его регуляция / Под ред. Н.А. Федорова. – М.: Медицина, 1976. С.33-38.
46. Schofield R. *The relationship between the spleen colony forming cell and hemopoietic stem cell. A hypothesis* // Blood cells. 1978. V.4. P.7-25.
47. Lord B.I. *The architecture of bone marrow cell populations* // Int. J. Cell Cloning. 1990. V.8. P.317-331.
48. Чеглякова В.В., Цырлова И.Г., Козлов В.А. *Эритроидной природы естественные супрессорные клетки костного мозга* // Иммунология. 1989. № 3. С.52-55.
49. Цырлова И.Г. *Регуляция пролиферации и дифференцировки гемопоэтических стволовых клеток (КОЕс) при антигенном воздействии* // Онтогенез. 1991. Т.22. С.152-158.

*Математические  
структуры и моделирование*  
1998. Вып. 2, с.116-123.

УДК 532.521

## ПЕРЕНОС ЗАВИХРЕННОСТИ: ВАРИАЦИОННЫЙ ПОДХОД

**А.С. Толстуха**

Algorithm of the calculation of the steady fluid flow with vorticity through three dimensional channel is presented. The velocity field is decomposed in terms of potential and vortex-induced parts. Vorticity transport calculation is based on the approximate calculation of the stream line and the time scale functions of the flow particles.

### 1. Постановка задачи

Рассматривается задача о стационарном течении идеальной жидкости в пространственном канале.

В пространственной области  $\Omega$ , ограниченной границами типа  $T$  – стенка,  $\Gamma_0$  – граница втекания жидкости в область,  $\Gamma_1$  – граница вытекания, требуется найти вектор-функции

$$\mathbf{u} = \mathbf{u}(\mathbf{x}) = (u_1(\mathbf{x}), u_2(\mathbf{x}), u_3(\mathbf{x}))^T,$$

$$\vec{\omega} = \vec{\omega}(\mathbf{x}) = (\omega_1(\mathbf{x}), \omega_2(\mathbf{x}), \omega_3(\mathbf{x}))^T$$

и скалярную функцию

$$p = p(\mathbf{x}),$$

где  $\mathbf{x} = (x_1, x_2, x_3)^T \in \Omega$ ;  $\mathbf{u}$  – скорость в точке  $\mathbf{x}$ ;  $\vec{\omega}$  – завихренность;  $\vec{\omega} = \text{rot } \mathbf{u}$ ;  $p$  – давление, удовлетворяющие уравнениям

$$\text{div } \mathbf{u} = 0, \quad (1)$$

$$(\mathbf{u} \cdot \nabla) \vec{\omega} - (\vec{\omega} \cdot \nabla) \mathbf{u} = 0, \quad (2)$$

$$\Delta p = \sum_{i=1}^3 \sum_{j=1}^3 \frac{\partial u_i}{\partial x_j} \frac{\partial u_j}{\partial x_i} \quad (3)$$

---

© 1998 А.С. Толстуха

E-mail: ast@univer.omsk.su

Омский государственный университет

и граничным условиям

$$\mathbf{u} \cdot \mathbf{n} = 0, \quad \mathbf{x} \in T \quad (4)$$

$$\mathbf{u} = \mathbf{u}_0, \quad \mathbf{x} \in \Gamma_0 \quad (5)$$

$$\mathbf{u} \cdot \mathbf{n} = U_1, \quad \mathbf{x} \in \Gamma_1 \quad (6)$$

$$\nabla p \cdot \mathbf{n} = (\mathbf{u} \cdot \nabla) \mathbf{u} \cdot \mathbf{n}, \quad \mathbf{x} \in \Gamma_0 \cup T \cup \Gamma_1. \quad (7)$$

Здесь  $\mathbf{n} = \mathbf{n}(\mathbf{x})$  – внешняя к области нормаль в точке границы  $\mathbf{x}$ ,  $\mathbf{u}_0 = \mathbf{u}_0(\mathbf{x})$ ,  $U_1 = U_1(\mathbf{x})$  – заданные на соответствующих границах функции с условием совместности

$$\int_{\Gamma_0} \mathbf{u}_0 \cdot \mathbf{n} \, dS + \int_{\Gamma_1} U_1 \, dS = 0,$$

причем считаем  $\mathbf{u}_0 \cdot \mathbf{n} \leq \epsilon < 0$  в каждой точке границы  $\Gamma_0$ . Для однозначности в определении давления потребуем выполнения условия

$$\int_{\Omega} p \, d\mathbf{x} = 0. \quad (8)$$

Первое из уравнений (1)-(3) есть уравнение сохранения массы, второе – уравнение переноса завихренности, третье определяет поле давлений; (2) и (3) являются следствием уравнения сохранения импульса. Вместе они эквивалентны уравнениям Эйлера для идеальной жидкости. Существование и единственность решения задачи протекания завихренной жидкости через замкнутую пространственную область установлены (см. [1]).

Далее полагаем, что  $\Gamma_0$  лежит в плоскости  $x_3 = 0$ ; внешняя нормаль есть  $\mathbf{n} = (0, 0, -1)^T$  и, следовательно,  $u_{03}(\mathbf{x}) \geq \epsilon > 0$ .

## 2. Метод решения

Для решения предлагается итерационная процедура. Начальное приближение поля скорости взять в виде:

$$\mathbf{u}^{(0)} = \nabla \phi,$$

где  $\phi = \phi(\mathbf{x})$  – потенциал скоростей, являющийся решением задачи

$$\begin{aligned} \Delta \phi &= 0, & \mathbf{x} \in \Omega \\ \nabla \phi \cdot \mathbf{n} &= 0, & \mathbf{x} \in T \\ \nabla \phi \cdot \mathbf{n} &= -u_{03}, & \mathbf{x} \in \Gamma_0 \\ \nabla \phi \cdot \mathbf{n} &= U_1, & \mathbf{x} \in \Gamma_1 \end{aligned} \quad (9)$$

$$\int_{\Omega} \phi \, d\mathbf{x} = 0.$$

Пусть имеется  $k$ -ое приближение поля скорости  $\mathbf{u}^{(k)}$ , удовлетворяющее уравнению (1) и граничным условиям (4)-(6). Тогда:

1) Решить задачу определения поля давлений  $p^{(k)}$ , удовлетворяющего ref3, (7), (8).

2) Найти компоненты вихря  $\vec{\omega}_0$  на поверхности втекания. Вместе с

$$\omega_{03} = \frac{\partial u_{02}}{\partial x_1} - \frac{\partial u_{01}}{\partial x_2}$$

из уравнения импульсов в форме Громеки-Лэмба получим

$$\omega_{01} = \frac{1}{u_{03}} \left( u_{01}\omega_{03} + \frac{\partial}{\partial x_2} \left( p^{(k)} + \frac{\mathbf{u}_0 \cdot \mathbf{u}_0}{2} \right) \right)$$

$$\omega_{02} = \frac{1}{u_{03}} \left( u_{02}\omega_{03} - \frac{\partial}{\partial x_1} \left( p^{(k)} + \frac{\mathbf{u}_0 \cdot \mathbf{u}_0}{2} \right) \right)$$

3) Найти вектор-функцию  $\mathbf{X}(\mathbf{x}) = (X_1(\mathbf{x}), X_2(\mathbf{x}), X_3(\mathbf{x}))^T$  такую, что

$$\begin{cases} (\mathbf{u}^{(k)} \cdot \nabla) \mathbf{X} = 0, & \mathbf{x} \in \Omega \\ \mathbf{X}(\mathbf{x}_0) = \mathbf{x}_0, & \mathbf{x}_0 \in \Gamma_0 \end{cases} \quad (10)$$

постоянную на линиях тока

$$\begin{cases} \frac{d\mathbf{y}(t)}{dt} = \mathbf{u}^{(k)}(\mathbf{y}(t), t) \\ \mathbf{y}(0) = \mathbf{x}_0, & \mathbf{x}_0 \in \Gamma_0 \end{cases}$$

В силу выбора поверхности  $\Gamma_0$  имеем  $X_3(\mathbf{x}) = 0$ .

Найти функцию  $\Theta(\mathbf{x})$  – время, затраченное частицей с момента вхождения в область до попадания в точку  $\mathbf{x}$ .

$$\begin{cases} \mathbf{u}^{(k)} \cdot \nabla \Theta = 1, & \mathbf{x} \in \Omega \\ \Theta(\mathbf{x}_0) = 0, & \mathbf{x}_0 \in \Gamma_0 \end{cases} \quad (11)$$

4) По функциям  $\mathbf{X}(\mathbf{x})$ ,  $\Theta(\mathbf{x})$  получить матрицу  $J$  преобразования координат при движении частицы вдоль линии тока.

$$J = \left( \frac{\partial \mathbf{x}_0}{\partial \mathbf{x}} \right) = \left( \frac{\partial \mathbf{X}}{\partial \mathbf{x}} \right) + \mathbf{u}_0(\mathbf{X}) (\nabla \Theta)^T. \quad (12)$$

Действительно, рассмотрим линию тока  $AB$  из точки  $\mathbf{x}_0 \in \Gamma_0$  в точку  $\mathbf{x}$  и малое приращение  $\Delta \mathbf{x}$  (см. рис. 1). Нужно вычислить  $\Delta \mathbf{y}$  – приращение к  $\mathbf{x}_0 = \mathbf{X}(\mathbf{x})$  такое, чтобы время, затраченное частицей на путь из точки  $\mathbf{y} = \mathbf{x}_0 + \Delta \mathbf{y}$  (обозначим её литерой  $C$ ) в точку  $\mathbf{x}' = \mathbf{x} + \Delta \mathbf{x}$  (обозначим  $D$ ), в первом приближении совпало со временем  $t_{AB}$ , затраченное частицей на путь из точки  $\mathbf{x}_0$  в точку  $\mathbf{x}$ . Отметим на линии тока, проходящей через точки  $C, D$ , точку  $A'$ , лежащую на границе и равную  $\mathbf{x}'_0 = \mathbf{X}(\mathbf{x}')$ , а также точки  $C'$  и  $D'$ , полученные из точек  $A, B$  приращениями, ортогональными к вектору скорости в этих точках. Заметим, что время, затраченное частицей на путь из точки  $C'$  в точку  $D'$  совпадает с  $t_{AB}$  и, следовательно,  $t_{CC'} = t_{DD'} = \Delta t$ . Имеем

$$\Delta \mathbf{y} = \Delta \mathbf{x}_0 + \Delta t_0 \mathbf{u}(\mathbf{x}'_0) + \Delta t \mathbf{u}(\mathbf{x}'_0 + \Delta t_0 \mathbf{u}(\mathbf{x}'_0)),$$

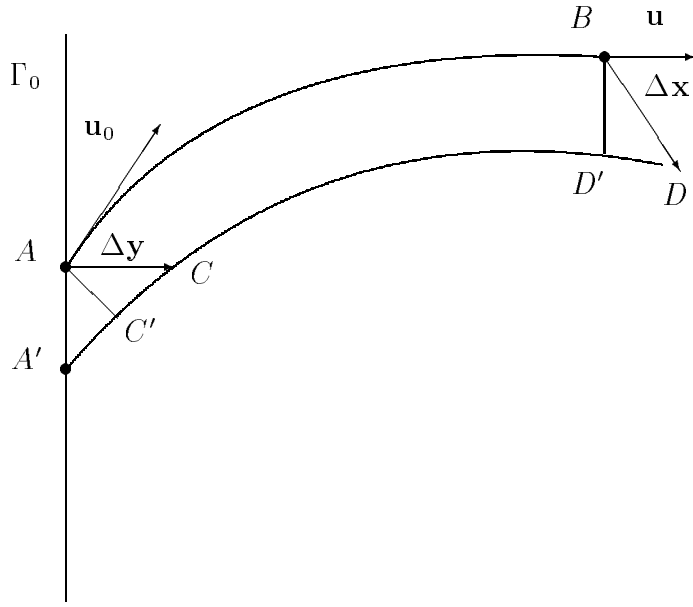


Рис. 1

где  $\Delta \mathbf{x}_0 = \mathbf{x}'_0 - \mathbf{x}_0$ ,  $\Delta t_0 = t_{A'C'}$ . В первом приближении

$$\Delta \mathbf{y} = \Delta \mathbf{x}_0 + (\Delta t_0 + \Delta t) \mathbf{u}_0,$$

где  $\mathbf{u}_0 = \mathbf{u}(\mathbf{X}(\mathbf{x}))$ . Так как время нахождения частиц в области известно, в первом приближении получим:

$$\Delta t_0 + \Delta t = \Theta(\mathbf{x}') - \Theta(\mathbf{x}) = \nabla \Theta \cdot \Delta \mathbf{x}.$$

Вычисляя пределы в направлениях  $x_j$

$$\lim_{\alpha \rightarrow 0} \frac{\Delta y_i(\mathbf{x} + \alpha \mathbf{e}_j)}{\alpha} = \frac{\partial y_i}{\partial x_j}, \quad i, j = 1, 2, 3, \quad \mathbf{e}_j = (\delta_{1j}, \delta_{2j}, \delta_{3j})^T$$

получим (12).

5) Найти приближение поля завихренности по формуле (см. [2])

$$J \vec{\omega} = \vec{\omega}_0(\mathbf{X}). \quad (13)$$

6) Индуцированную завихренностью скорость  $\mathbf{v} = \mathbf{v}(\mathbf{x})$  найти как значение интеграла (см. [3])

$$\mathbf{v}(\mathbf{x}) = \frac{1}{4\pi} \int_{\vec{\xi} \in \mathbf{R}^3} \frac{\vec{\omega}(\vec{\xi}) \times (\mathbf{x} - \vec{\xi})}{|\mathbf{x} - \vec{\xi}|^3} d\vec{\xi}.$$

7) Следующее,  $(k + 1)$ -ое приближение поля скорости есть сумма

$$\mathbf{u}^{(k+1)} = \nabla \phi + \mathbf{v},$$

где  $\phi = \phi(\mathbf{x})$  – потенциал, являющийся решением задачи

$$\begin{aligned} \Delta\phi &= 0 & \mathbf{x} \in \Omega \\ \nabla\phi \cdot \mathbf{n} &= -(\mathbf{v} \cdot \mathbf{n}), & \mathbf{x} \in T \\ \nabla\phi \cdot \mathbf{n} &= -u_{03} - (\mathbf{v} \cdot \mathbf{n}), & \mathbf{x} \in \Gamma_0 \\ \nabla\phi \cdot \mathbf{n} &= U_1 - (\mathbf{v} \cdot \mathbf{n}), & \mathbf{x} \in \Gamma_1 \end{aligned} \quad (14)$$

$$\int_{\Omega} \phi \, d\mathbf{x} = 0.$$

### 3. Численная реализация

Для решения используется метод конечных элементов. Область  $\Omega$  разбивается на четырехузловые элементы – тетраэдры. Вершины тетраэдров при этом образуют узлы разбиения с координатами  $\mathbf{x}_i$ ,  $i = 1, \dots, N$  ( $N$  – количество узлов). На этом разбиении определяются финитные базисные функции таким образом, что если  $V_i(\mathbf{x})$  – базисная функция, связанная с узлом  $i$ , то в любом элементе она линейна и  $V_i(\mathbf{x}_j) = 1$ ,  $V_i(\mathbf{x}_j) = 0$ , при  $j \neq i$ .

Метод численного решения задачи Неймана для уравнения Пуассона, с линейными базисными функциями изложен, например, в [4]. К таковым относятся: задача нахождения начального приближения (9), задача на давление пункта 1), перехода к следующему приближению поля скорости пункта 7) итерационной процедуры.

Решение задачи определения линий тока (10) ищем в виде

$$\mathbf{X}(\mathbf{x}) = \sum_{i=1}^N \mathbf{X}_i V_i(\mathbf{x})$$

методом наименьших квадратов. Пусть  $X(\mathbf{x})$  – компонента вектор-функции  $\mathbf{X}(\mathbf{x})$ . Требуется найти коэффициенты  $X_i$ ,  $i = 1, \dots, N$  обеспечивающие минимум функционалу

$$\Phi(X_1, \dots, X_N) = \int_{\Omega} (\mathbf{u} \cdot \nabla X)^2 \, d\mathbf{x}$$

Условие минимума квадратичного функционала

$$\frac{\partial \Phi}{\partial X_i} = 0, \quad i = 1, \dots, N$$

Полагая  $\mathbf{u}$  кусочно-линейной на конечноэлементном разбиении функцией, получим

$$\sum_{j=1}^N a_{ij} X_j = 0, \quad i = 1, \dots, N \quad (15)$$

$$a_{ij} = \sum_{T \ni i,j} \left( \frac{4}{5} (\mathbf{u}_T \cdot \nabla V_{iT})(\mathbf{u}_T \cdot \nabla V_{jT}) + \frac{1}{20} \sum_{k \in T} (\mathbf{u}_k \cdot \nabla V_{iT})(\mathbf{u}_k \cdot \nabla V_{jT}) \right) Vol_T,$$

где суммирование осуществляется по тетраэдрам, содержащим в качестве вершин узлы с номерами  $i, j$ ;  $Vol_T$  – объем тетраэдра;  $\mathbf{u}_k = \mathbf{u}(\mathbf{x}_k)$ ,  $\mathbf{u}_T = (\sum_{k \in T} \mathbf{u}_k)/4$ . Так как на границе  $\Gamma_0$  значения  $X(\mathbf{x})$  известны, система (15) редуцируется к виду

$$\sum_{j \in \{1, \dots, N \mid \mathbf{x}_j \notin \Gamma_0\}} a_{ij} X_j = - \sum_{j \in \{1, \dots, N \mid \mathbf{x}_j \in \Gamma_0\}} a_{ij} X_j, \quad i \in \{1, \dots, N \mid \mathbf{x}_i \notin \Gamma_0\}.$$

Решение этой системы линейных алгебраических уравнений с симметричной матрицей может быть получено численно.

Решение задачи определения временной шкалы для частиц (11) строится аналогично. Матрица системы совпадает с матрицей задачи на линии тока, несколько иная правая часть.

$$\sum_{j \in \{1, \dots, N \mid \mathbf{x}_j \notin \Gamma_0\}} a_{ij} \Theta_j = b_i, \quad i \in \{1, \dots, N \mid \mathbf{x}_i \notin \Gamma_0\}$$

$$b_i = \sum_{T \ni i} (\mathbf{u}_T \cdot \nabla V_{iT}) Vol_T.$$

Вычисление поля завихренности – шаги 4), 5) – производится в каждом тетраэдре. Заметим, что так как функции  $\mathbf{X}(\mathbf{x})$ ,  $\Theta(\mathbf{x})$  получены в *среднем*, локальное вычисление  $J_T$  и, следовательно,  $\vec{\omega}_T$  происходит с ошибкой, что влечёт за собой неточное выполнение условия  $\operatorname{div} \vec{\omega} = 0$ . Более последовательный подход заключается в требовании выполнения условия (13) в *среднем*, но он приводит к системе линейных алгебраических уравнений с матрицей, имеющей размеры  $3N \times 3N$ .

При расчете индуцированной завихренностью скорости практически применялась формула

$$\mathbf{v}(\mathbf{x}_i) = \frac{1}{4\pi} \sum_{\{T \mid |\mathbf{x}_i - \mathbf{x}_T| < r\}} \frac{\vec{\omega}_T \times (\mathbf{x}_i - \mathbf{x}_T)}{|\mathbf{x}_i - \mathbf{x}_T|^3} Vol_T, \quad i = 1, \dots, N$$

с некоторым  $r$ ,  $\mathbf{x}_T = (\sum_{k \in T} \mathbf{x}_k)/4$ .

Чтобы обеспечить выполнение условия (1) очередным приближением поля скорости, ведущее уравнение задачи (14) шага 7) нужно заменить на

$$\Delta \phi = -\operatorname{div} \mathbf{v}, \quad \mathbf{x} \in \Omega.$$

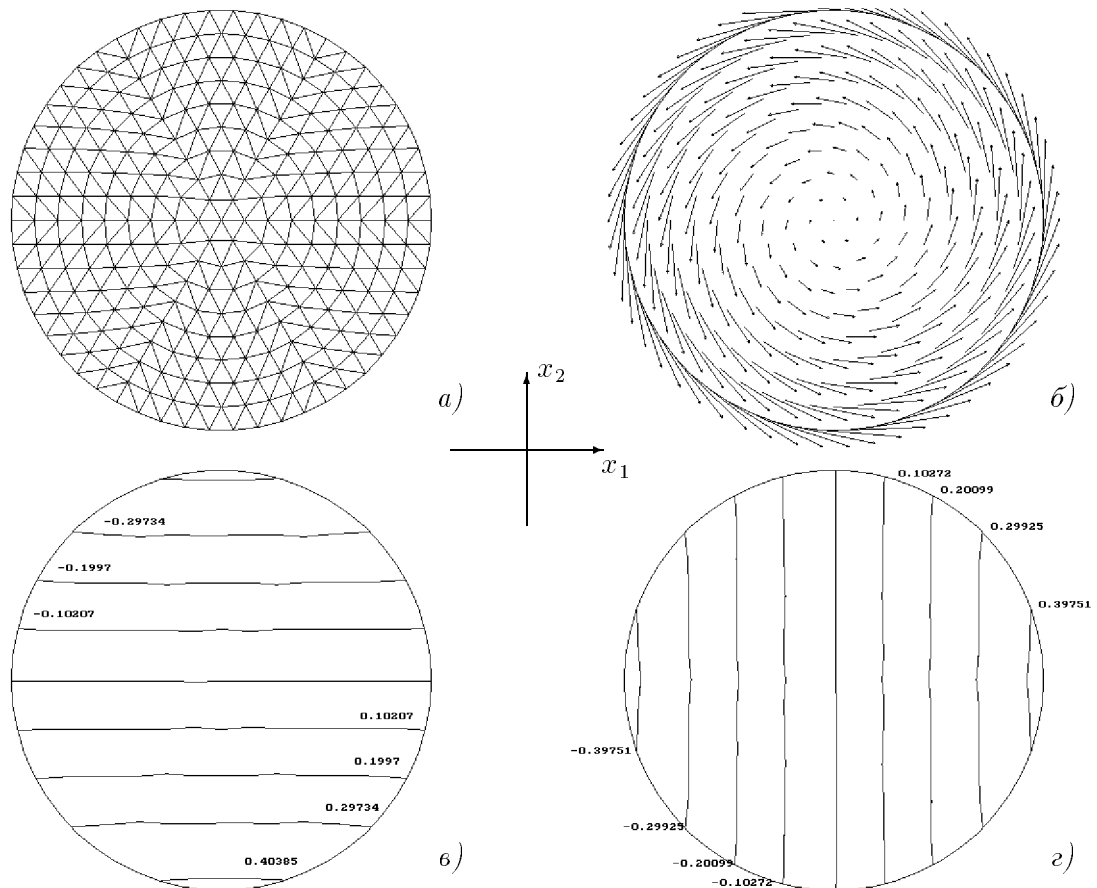


Рис. 2

#### 4. Пример расчета

Область – труба радиуса 1, длиной 3. Скорость на входе

$$\mathbf{u}_0(\mathbf{x}) = (-x_2/2, x_1/2, 1)^T, \quad \mathbf{x} \in \Gamma_0$$

нормальная составляющая на выходе

$$U_1(\mathbf{x}) = 1, \quad \mathbf{x} \in \Gamma_1.$$

Точное решение:

$$\mathbf{u}(\mathbf{x}) = (-x_2/2, x_1/2, 1)^T, \quad \vec{\omega}(\mathbf{x}) = (0, 0, 1)^T, \quad \mathbf{x} \in \Omega$$

представляет течение жидкости с постоянной скоростью вдоль оси  $x_3$ , вращающейся вокруг неё как твёрдое тело.

На рис. 2 изображены результаты расчета в среднем сечении трубы: a) расчетная сетка; б) вид поля скорости в проекции на плоскость  $(x_1, x_2)$ ; в) линии уровней функции  $u_1$ ; г) линии уровней функции  $u_2$ .

Таким образом, построен и реализован на основе метода конечных элементов итерационный алгоритм, решающий нелинейную задачу расчета вихревого